Machine Translated by Google

CoVid-vacciner baseret på grafen, nanonetværk og nano-tingenes internet (IoNT)

Kira Smith, læge, kandidatgrad i eksperimentel medicin

Resumé—Det er nu praktisk talt fastslået, at grundstoffet grafen, et derivat af grafit og baseret på kulstof, der danner nanorør (CNT), er til stede i sera, foruden tilstedeværelsen af andre materialer afledt af det, såsom grafenoxid (GO).
Grafen er et nanomateriale, der besidder exceptionelle fysiske, termodynamiske, elektroniske, mekaniske og magnetiske egenskaber; det kan bruges som superleder, transducer, absorber af elektromagnetiske bølger, emitter og modtager af signaler. Det er også blevet observeret, at ved at tage et hætteglas med Pfizer-vaccine og lade hydrogelen tørre, kan tilstedeværelsen af nanokredsløb ses under mikroskopet efter 3-4 dage [1]: det er grafenet, der reagerer på elektromagnetiske felter og elektromagnetiske mikrobølger, selv-assemblerer sig i henhold til DNA-baserede nanomønstre for at markere rækkefølgen af konstruktion og elektroforese/teslaforese for at udløse processen i opløsningsmaterialerne (hydrogel) til elektroniske nanokredsløb, med ægte nanoskalakomponenter, såsom nanoroutere, nanoantenner osv. dannet af grafen, som fungerer som en signalrepeater, da det er radiomodulerbart, dvs. i stand til at absorbere elektromagnetiske bølger og multiplicere deres stråling; Disse elektroniske komponenter er organiseret i kvanteprikker (GQD'er) og kvanteceller (QCA), partikler, der har ovennævnte egenskaber som grafen, eksponentielt større, takket være kvante-Hall-effekten, især i miljøer som menneskekroppen. Det vil således skabe et intrakorporalt netværk eller nanonetværk, som vil registrere alle vitale parametre, men også enhver mindste variation i kroppen, takket være den avancerede og komprimerede elektronik, der er overlejret på 3D. De indsamlede signaler vil derefter blive sendt via en gateway forbundet til 5G-netværket på internettet for at blive gemt i en enorm cloud-database og behandlet af software baseret på maskinlæring, der udnytter kvantecomputernes computerkraft. Det endelige mål kunne være at lagre og i sidste ende reproducere det, vi kalder "bevidsthed", for evigt.

Indeksbegreber—Covid, Covid-19, Vacciner, Grafen, Nanoteknologi-nologi, Nanonetværk, CORONA, IoNT

I. INDLEDNING

I **blodet fra vaccinerede** personer og også i et **hætteglas med Pfizer-vaccine blev** prøver indeholdende **parallelle** og **vinkelrette linjer, firkantede** eller **kubiske strukturer,** bestående af **krystalliseret grafen,** observeret ved hjælp af forskellige **elektronmikroskopi (TEM), fasekontrast, MRI** og andre teknikker, hvilket tyder på **kunstige produkter,** der henviser til **elektroniske kredsløb [2], [3].** Dette var muligt gennem en proces med **rasterisering, fokusering** og **afgrænsning af billedets kanter.** Det, der blev detekteret, var **kredsløbet i en nanorouter,** som vi vil se beskrevet senere, og som sammen med andre detekterede billeder antyder tilstedeværelsen af et **nanonetværk** inde i menneskekroppen.

Nanosensorer installeret i **WNSN,** udstyret med **grafenbaserede** nanopatch **-antenner,** kan registrere symptomer

Kira Smith er uafhængig forsker hos Experimental Medicine, Novara, 28100, (NO), Piemonte, ITALIEN, tlf.: +39 3509120694, e-mail: killforthethrill@black-fox.it (korresponderende forfatter).

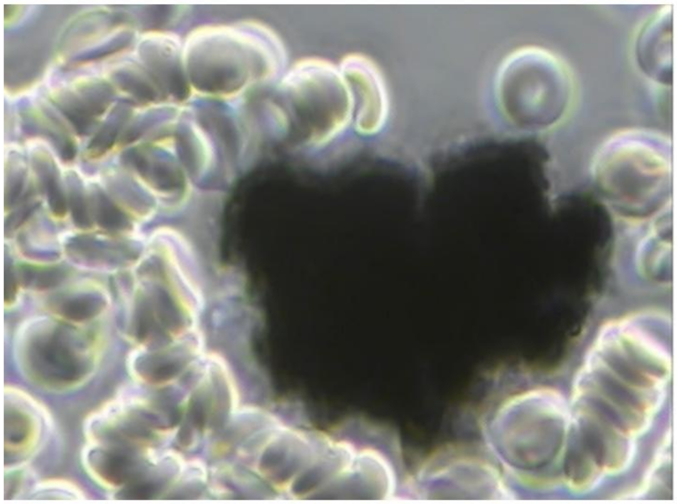

Fig. 1. Mikrograf af en kulstofklynge af reduceret grafenoxid (rGO eller grafenhydroxid) set i levende, ufarvet menneskeblod med pHase-kontrastmikroskopi ved 1500x. Bemærk, at de røde blodlegemer koagulerer i og omkring rGO-krystallen i en tilstand kendt som Rouleau!
Et fransk ord, der betyder at kæde sammen. Dr. Robert O. Young, Profiler i medicinsk mikroskopi, Hikari Omni Publishing.

eller **virus** ved hjælp af molekyler eller **bakterieadfærd .**
Udviklingen af grafenbaserede **biosensorer** muliggør anvendelsen af grafen til **detektion** af **glukose, Cyt-c** (cytochrom-c), **NADH** (nikotinamid-adenin-dinukleotidhydrid), **Hb** (hæmoglobin), **kolesterol, AA** (aminosyre), **UA** (urinsyre) og **DA** (diaminosyre). [4]

Der blev faktisk implementeret en række **e-sundhedsforanstaltninger** under **COVID-19-** pandemien, proportionalt med **fremskridtene** inden for **BAN** (Body Area Network) og **intra-body-netværk,** hvor **BAN** er en form for **IoNT-domæne:** [5]

- **Tidlig diagnose:** foreslået af Doffman i 2020, med udskiftning af infrarøde termometre med termisk kamera, optisk kamera, GPS og LWPAN-moduler for at identificere COVID-19-mistænkte.

- **Fjernovervågning af patienter:** I Kina brugte Shanghai Public Health Clinical Center (SPHCC) og syv andre hospitaler tilsluttede termometre til kontinuerligt at overvåge de diagnosticerede patienter. VivaLNKs kropstemperatursensorer koblet til Cassia IoT Access-controlleren blev brugt, og information om eventuelle ændringer i patienternes kropstemperatur blev trådløst kommunikeret til sygeplejerskestationen. En enkelt gateway havde mulighed for at parre og forbinde op til 40 Bluetooth Low Energy (BLE)-enheder. Derudover blev data genereret af næsten en million tilsluttede termometre også brugt til at producere daglige data om tendenserne for influenzalignende sygdomme.

Machine Translated by Google

Sygdom (ILI) i USA af Kinsa Health. • **Karantæneovervågning:** Smarte, bærbare sporingsenheder er blevet brugt af Sydkorea, Singapore, Mellemøsten og europæiske lande til at opdage, om nylige rejsende har brudt karantænen. Forskellige varianter af smarte armbånd består af GPS-chips og/eller kobles til brugernes smartphones for at spore deres placering og bevægelser.

• **Forebyggende advarsler:** IIT-Istituto Italiano di Tecnologia har designet et smartarmbånd, iFeel-You, til at måle kropstemperaturen og sende advarsler. Derudover registrerer smartarmbåndet kroppens bevægelser og identificerer tilstedeværelsen af et andet bånd inden for en bestemt radiorækkevidde. Så snart det registreres, at et andet smartarmbånd er i nærheden, vibrerer begge for at informere brugerne om social distancering.

Immunotouch er en anden version af et smart armbånd, der vibrerer, når brugeren bringer sin hånd tæt på mund, næse eller øje. Armbåndet er integreret med en accelerometer og sporer håndens bevægelse 10 gange i sekundet.

• **Rengøring af faciliteter:** I Vancouver er IoT-knapper blevet brugt til at sende advarsler til myndighederne for at rådgive om rengøring og vedligeholdelse af offentlige faciliteter. Disse knapper er designet af Visionstate og kendt som Wanda QuickTouch. Advarslerne kan sendes af offentligheden eller personalet på faciliteter såsom plejestationer, toiletter og patientværelser for øjeblikkeligt at underrette ledelsen eller rengøringspersonalet. • **Kontaktsporing for diagnosticerede patienter:** Et innovativt sæt wearables er blevet udviklet af Estimote. Hvis en person diagnosticeres positiv for COVID-19, og når vedkommende sætter sin sundhedstilstand til diagnosticeret, sender enheden en advarsel til alle de personer, der tidligere har været i kontakt. Disse enheder kan også prioritere listen over personer ved at give detaljer om, hvor længe hver kontakt var aktiv. • **Levering af mad og medicin til patienter:** For det første giver internetteknologier integreret med websider og mobilapps slutbrugerne mulighed for at afgive deres ordrer, og for det andet er der fremsat forskellige forslag om at bruge robotter eller droner til at levere forsyninger til patienter eller personer i karantæne for at sikre social distancering. Hjemmeautomationsteknologier såsom smarte dørlåse, overvågningskameraer, bevægelsesdetektorer og videotelefoner muliggør sikker og kontaktløs bestilling og aflevering af forsyninger. • **Sikkerhed på arbejdspladsen:** Mobilapplikationer kan stilles til rådighed for medarbejderne, der minder dem om at vaske hænder, bærbare enheder kan stilles til rådighed for at forhindre dem i at røre ansigtet, og rækkeviddesensorer kan bruges til at opretholde sikker afstand på offentlige steder på arbejdspladsen, såsom toiletter eller kantiner. En anden version af bærbare enheder eller nøgleringe til kontaktsporing er blevet udviklet af Microshare og Kerlink, som er virksomheder til sporing af aktiver. Når medarbejderne kommer tæt på hinanden, kan medarbejdernes unikke ID'er sammen med de krypterede koder gemmes. Kontaktdataene uploades også til den sikrede og centraliserede database via Low Power Wide Area Network (LoRaWAN), hvilket hjælper myndighederne med at spore medarbejdernes kontakt.

som testes positive eller udvikler symptomer. [6]

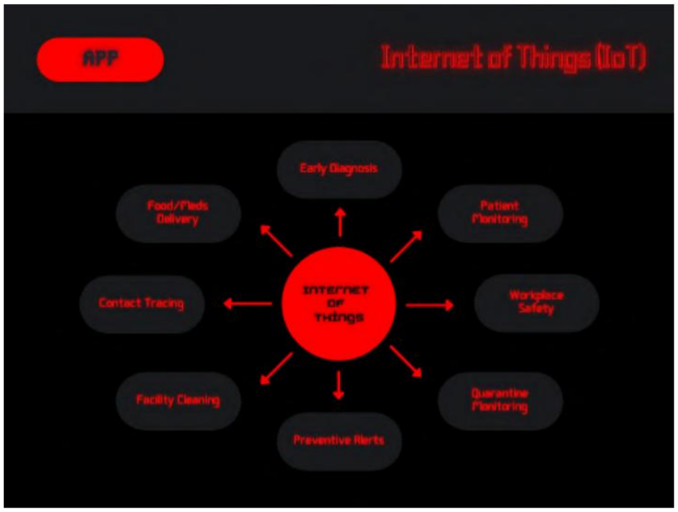

Figur 2. Håndtering af pandemien

Indtil nu er ingen dog gået så langt som til at implementere et **sæt sensorer** indefra **kroppen.**

Sådan fungerer et **nanonetværk** i et **biologisk miljø.**

II. HOVEDTEKST

A. NANONETVÆRK OG NANOKOMMUNIKATION

Det anvendte **pakkeroutingssystem** kaldes **CORONA** (Koordinat- og routingsystem for nano-netværk). [7]

Denne model kræver **konfiguration** af **nanonoder** fordelt over hele **kroppen,** dvs. **nanosensorer** og **nanoan-tennaer,** som har evnen til at opnå **høje transmissionshastigheder** over **meget korte afstande, når** de opererer i det mest lovende driftsspektrum af **terahertzbåndet (0,1 - 10,0 THz),** som **udbreder** signalet til de **andre nanon-oder;** nogle af dem skal være **faste** og placeres på kropsvævet **(endotel,** blodkarvægge og væv i de forskellige organer) som et **anker,** og **triangulerer positionen** af de **andre nanonoder,** måler deres **afstand** og **hoppene** i forbindelsen; andre er i stedet **mobile,** da de er til stede i **kredsløbssystemet,** dvs. **dynamiske** med evnen til at sigte **mod specifikke mål.** I **driftsfasen** bruger routingen den passende **delmængde af ankre,** som kræves af pakkens **afsender ,** til at **transmittere dataene.** Dette system fungerer **effektivt,** hvilket resulterer i **pakketransmission** og **meget lav tabsrate,** hvilket fremmer **energieffektivitet. [8]**

Afsendelse **af** data **uden for kroppen** skal være tilstrækkelig **kraftig,** samtidig med at optimal **signalklarhed opretholdes,** da **hudens hydrering,** udbredelsesafstand og **frekvensområde** påvirker tabet af **bane,** der **slører** signalet og dermed **budskabet;** det er derfor vigtigt at bruge **forskellige frekvenser: 0,1 - 4 THz** til at passere gennem **epidermis;** for **signaludbredelse** gennem **blodet** og resistente **gasser i lungerne** er området: **0,01 - 0,96 THz.**

Efterfølgende blev **CORONA-** modellen **forbedret** og **forenklet,** hvilket muliggjorde transmission af pakker til **fjernere ankre og undgik mellemliggende trin:** den var derefter

Machine Translated by Google

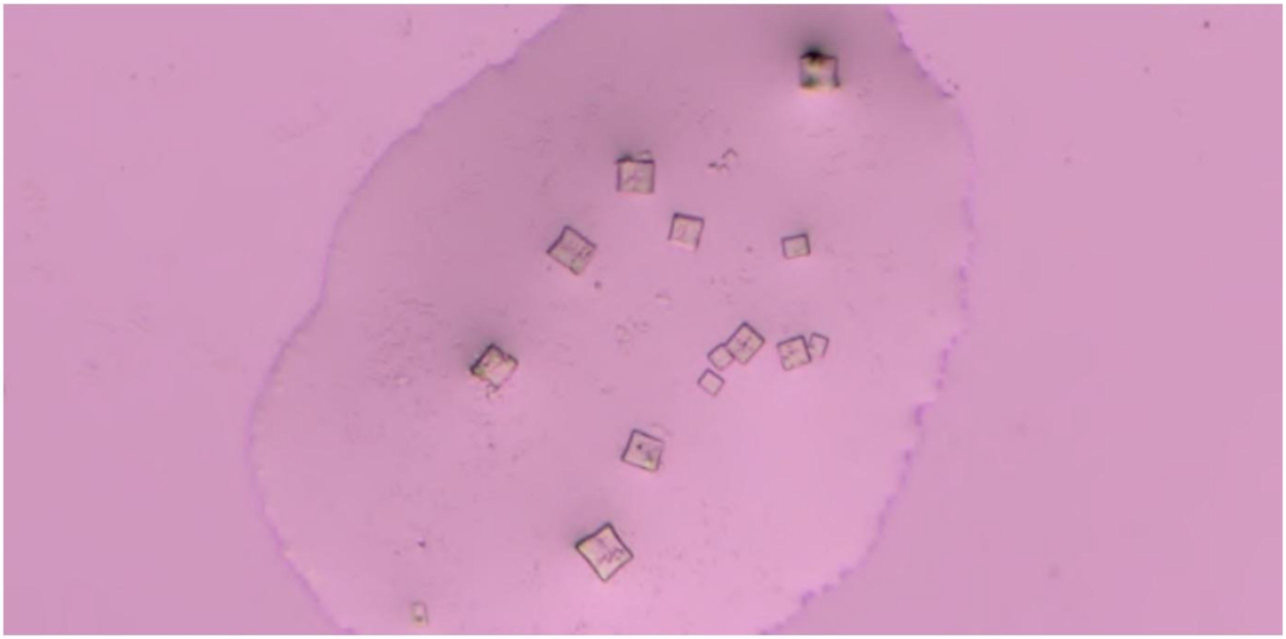

Fig. 3. Pfizer-vaccineprøve, der tilsyneladende indeholder kunstige strukturer, der ligner elektroniske kredsløb (Campra P. 2021)

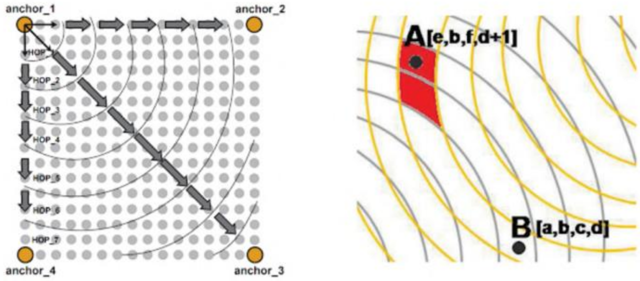

Fig. 4. Figuren til venstre viser forankrede nanonoder, der letter routing og adressering af datapakker, mens der til højre vises en begrænsning i ankerrouting (Tsioliaridou, A.; Liaskos, C.; Ioannidis, S.; Pitsillides, A. 2015)

fuldført med et **multi-hop routing-skema baseret på en distribueret klynge** med **en klyngeudvælgelsesalgoritme;** den blev derefter omdøbt til **DCCORONA [7]**

Protokollen , der anvendes i **nanokommunikation ,** kaldes **TS-OOK** (Time-Spread On-Off Keying) [9], og koder **aktivering og deaktivering** af **tidsudbredelse** til og fra. Det er den passende **aktiveringsmetode,** hvormed **request-response/klient-server-mekanismer** aktiveres i denne type netværk. Et logisk **0 eller 1** repræsenteres af **stilhed (kort puls)** med et relativt **langt** transmissionsinterval **(lang puls).** Dette **forenkler modtageren** og **undgår** sandsynligheden for **kollisioner,** samt **gendanner signalet** og **fortolker det** uden støj eller afbrydelser, givet dets **enkelhed.** Grundlæggende er **datapakker** og **headere kodet** med **0'ere og 1'ere** i henhold til **IEEE-** kommunikationsprotokoller. De **binærkodede signaler transformeres** derefter til **datapakker** af **demux** -kredsløbet. **Parallel-til-serie-konverteren** er derimod et **kredsløb ,** der kan tage forskellige sæt inputdata, bære dem på **forskellige QCA-ledninger** og ...

Fig. 5. Datapakkestruktur i DCCORONA-modellen (Bouchedjera, IA; Louail, L.; Alioutat, Z; Harous, S. 2020)

sender dem **på forskellige tidspunkter** på **udgangsledningerne.**

Dette forklarer, hvorfor **enheder** med **Bluetooth,** såsom smartphones, er i stand til at **registrere MAC-adresser,** der stammer fra **personer, der har modtaget "vaccinen":** det er i sagens natur en selvfølge, at der findes en **medieadgangskontrol. (MAC),** især ville det sandsynligvis være **DRIH-MAC-** modellen [10], som er en **modtagerinitieret protokol** til **kommunikation mellem nanonoder** i en trådløs elektromagnetisk nanotråd med det formål at **maksimere energiforbruget;** denne protokol er en **distribueret og prædiktiv teknik.**

Machine Translated by Google

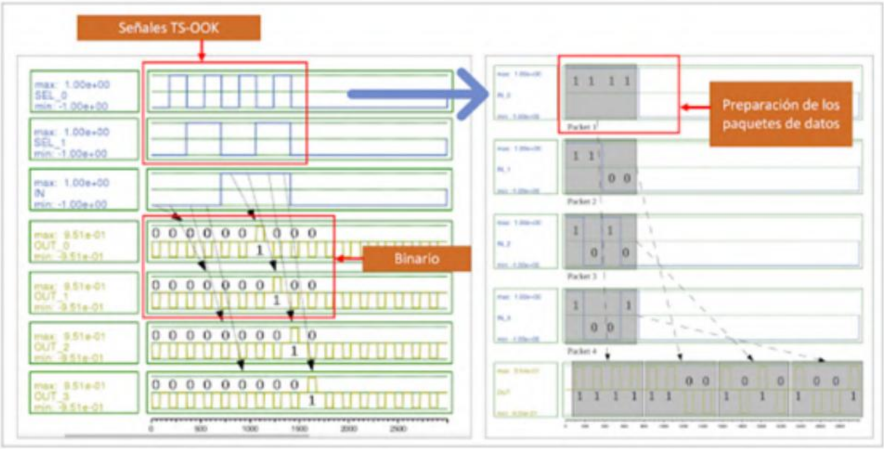

Fig. 6. Demux-kredsløbstests giver bevis for, hvordan TS-OOK-signaler fortolkes og konverteres til binær kode (Sardinha, LH; Costa, AM; Neto, OPV; Vieira, LF; Vieira, MA 2013)

at få adgang til medierne; **planlægningen af kommunikationen** er i koordinering med **processen med energihøstning,** som er **optimeret med 50 % sammenlignet med MAC-protokollen ,** og dette er en **væsentlig faktor** for **begrænsningerne** relateret til **skala** og **applikationsmiljø.**

Bluetooth kan bruges **til kontaktsporing ,** og **GPS (Global** Positioning System) kan bruges til at overvåge COVID-19-patienters **placering** i **realtid** såvel som i historiske perioder. [6]

Fænomenet vedrørende **mønters tiltrækning af** inokulater **kunne** også forklares: Selvom hverken **grafen eller dets derivater er magnetiske,** kan både **grafen** og **grafenoxid lede** nok **elektricitet** over **cellemembraner** til at **magnetisere nærliggende superparamagnetiske partikler og** dermed forårsage udbredt magnetisering af personer, der modtager vaccinen. [11]

For at **synkronisere kommunikationen mellem nanon-oder** er tilstedeværelsen af en **nano-CPU** afgørende, hvilket kræver mindst **én oscillator,** som definerer **clockfrekvensen** (oscillationer pr. sekund), målt i **Hertz (Hz).** [9]

In vivo- interaktion mellem **nano-oscillatorer** opnås ved evnen til at **aktivere dem** via **bioelektriske signaler ,** og de kan bruges til **selektivt at korrigere driftsfrekvensen** for et givet **felt.** For eksempel kan nano-oscillatorer **høste trådløs energi** og producere **trådløs elektrisk stimulering** af **celler** såsom **neuroner.**

I **topologihierarkiet** er der **derefter** nanorouterne , som **modtager signaler fra nanonoderne, behandler** dem og **sender** dem til **nanogrænsefladerne,** som **udsender dem uden for kroppen** med **signaler, der effektivt** krydser **hudbarrieren.** De er **nødvendige for at rute og afkode signalerne til afsendelse,** men også til **modtagelse.**

For at danne en **nanorouter** er det nødvendigt at have **ledningskrydsninger ,** der skaber **flere overlappende kredsløbsstrukturer: logiske gates, demultiplexer (demux)** og **parallel-serie konverter.** [9]

Tilbage til det **kredsløb, som professor Campra observerede** under observationen med **elektronmikroskopi** af **blodet fra vaccinerede** personer: **kvantecellen (QCA)** består af **4 kvantepunkter (GQD'er),** hvis **polarisering** er **variabel.**

Det er muligt at skelne den **binære kode,** der består af **0 og** 1, baseret på den **positive eller negative ladning** af **kvantepunkterne.** En **QCA-celle** ville kræve **4 GQD'er (områder, hvor en elektrisk ladning kan være lokaliseret eller ej)** for at danne sig selv. Hver **celle** har **2 frit bevægelige elektroner,** som kan skabe **tunneler** mellem **kvantepunkterne,** men tunnelering til **ydersiden af cellen er ikke tilladt** på grund af en **høj potentialbarriere.** Dette kredsløb repræsenterer en **nanorouter,** men gennem **kombinationen af QCA-celler** er det muligt at **opnå** elektroniske skemaer af **transistorer,** processorer, **multipleksere, demultipleksere** osv. med **forskellige funktioner** og **former.** [12]

B. UDRUPPELSE

Med hensyn til nanorouterens **tovejskapacitet** påpeger jeg , at **grafen** - og dermed hele **nanonetværket - kan krydse blod-hjerne-barrieren og** nogle gange **medbringe** andre **stoffer** (f.eks. forbedre **målretningen** af visse **lægemidler);** det er derfor sandsynligt, at tanker, **minder, sensoriske opfattelser** og alt det, vi nu kalder **"bevidsthed",** også vil blive detekteret i **den nærmeste fremtid .**

Det vides ikke, om de, der allerede har **modtaget vaccinen,** når nanonetværket i hele kroppen er dannet, vil blive **påvirket** i **tanke** og **adfærd,** i deres **handlinger,** gennem en **kontrolleret frigivelse** af **neurotransmittere** og **katekolaminer** (dopamin, serotonin, noradrenalin osv.) eller **andre hormoner,** hvilket vil forstærke eller forringe visse karakteristika, til fordel eller skade for andre: det er muligt at **udjævne følelser,** ændre **graden af opfattet tilfredshed,** øge **opmærksomheden,** fremme eller hæmme **læring ,** endda **muliggøre** fænomenet **subliminal (ubevidst) betinget læring.**

Af disse grunde vil **fremtidige pandemier** dog blive **håndteret optimalt** gennem **prædiktive algoritmer for smitte,** ligesom mange af de **nuværende kroniske sygdomme** vil kunne **behandles** ved **at sende stimuli** til **frigivelse** eller **hæmning.**

Machine Translated by Google

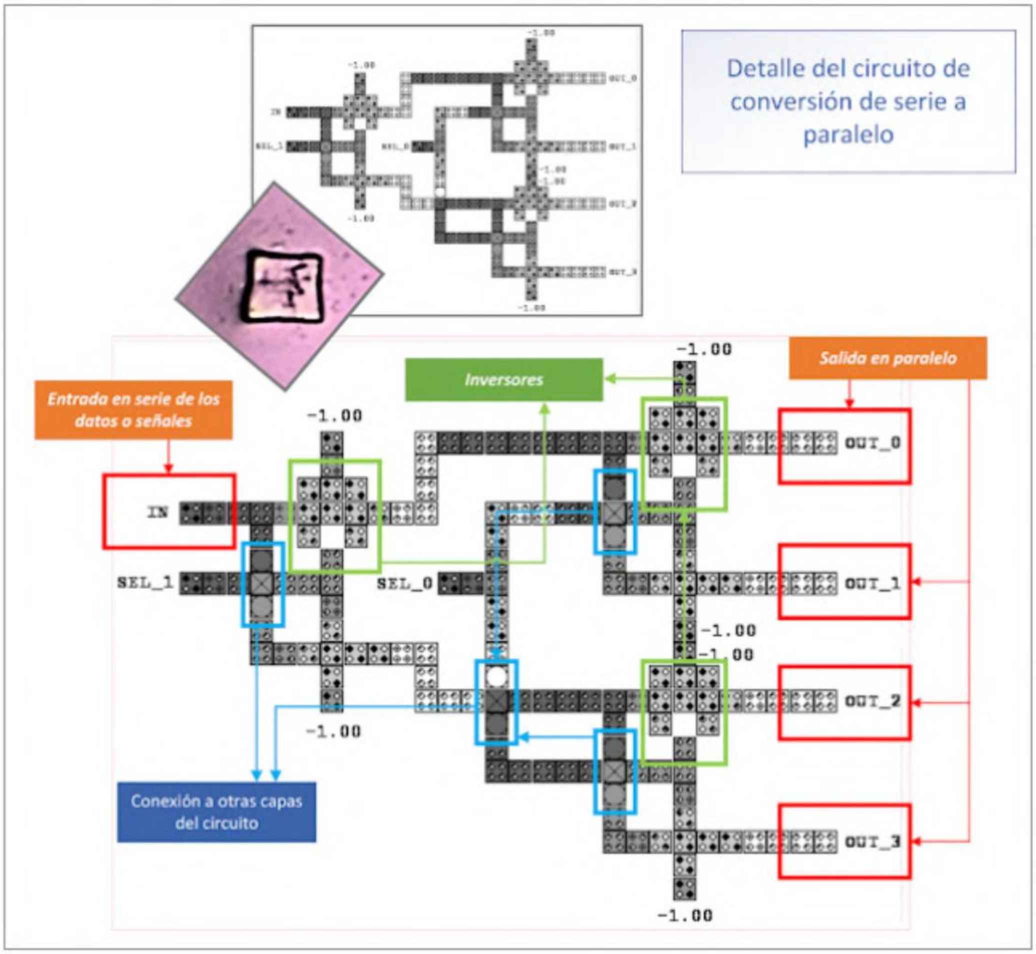

Fig. 7. Detaljer af kredsløb til at konvertere TS-OOK-signaler i serie til en parallel udgang, hvilket bekræfter en af de typiske opgaver for en router (Sardinha, LH; Costa, AM; Neto, OPV; Vieira, LF; Vieira, MA 2013)

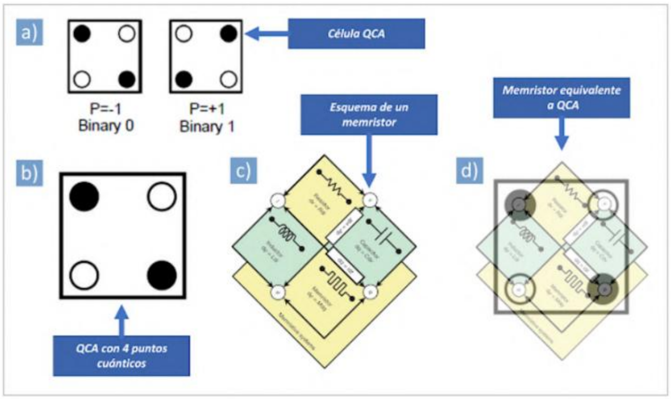

Fig. 8. QCA-celle bestående af 4 kvanteprikker (Sardinha, LH; Costa, AM; Neto, OPV; Vieira, LF; Vieira, MA 2013 | Strukov, DB; Snider, GS; Stewart, DR; Williams, RS 2009)

af visse **elementer i kroppen,** afhængigt af om de er **nødvendige** (eller **mangelfulde)** eller **i overskud.** [4]

Kvantecomputernes computerkraft og maskinlæringens fleksibilitet **vil** blive kombineret med **5G-** netværkets hastighed **og nul -** latens for **at transmittere** **data** for hver enkelt person. [5]

Tingenes internet (IoT) har trods alt gjort **objekter** "smarte" ved at sende data, parametre og nogle gange indledende behandling af disse, før de når destinationsskyerne.

Hvor længe kan **mennesker** holde sig ude af det? Det er allerede inde i **Internet of NanoThings (IoNT),** men erkender det ikke, selvom det ikke vides, om WNSN **er** hierarkisk **arkitektur ,** dvs. med **bottom-up transmission** (fra nanosensorer til nanoroutere) eller **ikke-hierarkisk,** med **autonome komponenter** i data- og signaloptagelse, transmission, aktivering og programmering. [5] Den **ikke-hierarkiske topologi er, samtidig** med den **hierarkiske topologi,** stadig den **mest sandsynlige mulighed,** givet grafens egenskaber : den er iboende **justerbar,** så det er muligt at skabe et **SDM** (Software Defined Metamaterial), der giver drivere mulighed for at ændre den elektrostatiske **bias ,** der påføres forskellige områder af grafenarket. Grafen kan i bund og grund styres og programmeres som **software** i dens forskellige lag. [13]

C. SELVMONTERING

I de senere år er grafenbaserede bioenheder, som f.eks. **DNA-bærere, grafen-nanoporer** til **DNA-sekventering,**

Machine Translated by Google

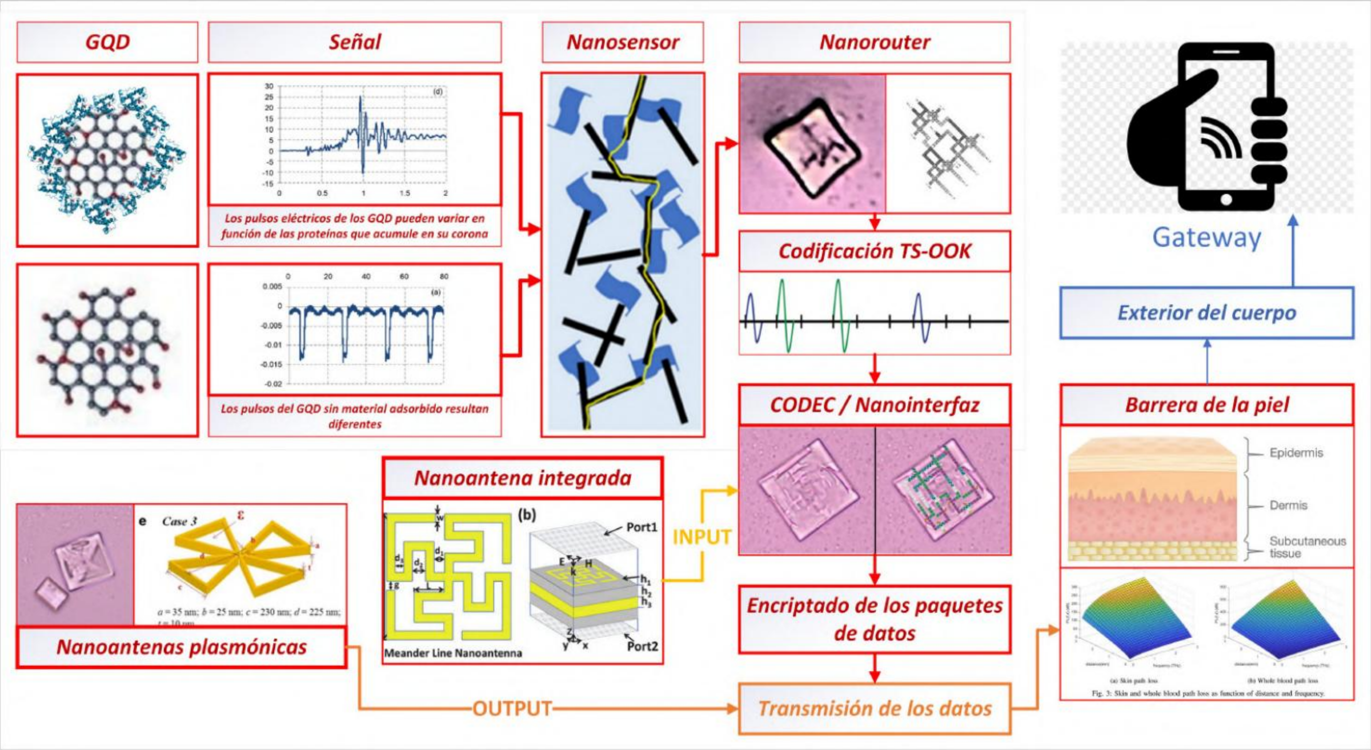

Fig. 9. Intrakorporalt netværk

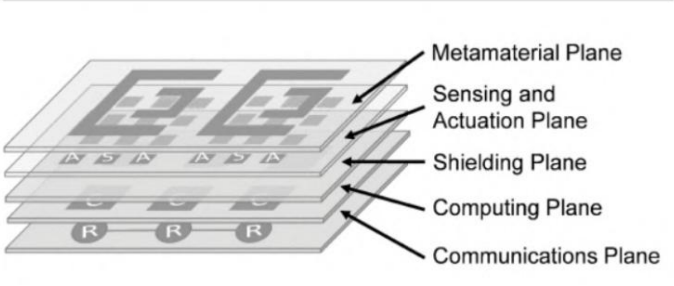

Fig. 10. Diagram over den logiske struktur af et softwaredefineret metamateriale, hvor grafen er det metamateriale, der udtrykkeligt nævnes af forfatterne (Abadal, S.; Liaskos, C.; Tsioliaridou, A.; Ioannidis, S.; Pitsillides; Sol´e-Pareta, J.; Cabellos-Aparicio, A.2017)

og en **grafen-DNA-biosensor,** er blevet fremhævet med ekstraordinær følsomhed, hurtig aflæsning og god biostabilitet. [14]

Grafen er et fremragende **substratmateriale** til adsorption og også til rumlig mønsterdannelse af **DNA-origamistrukturer .** Strategien er at integrere top-down-mønstringen af **kemisk modificeret grafen** gennem konventionel **fotolitografi** med bottom-up **-selv-samling** af **DNA-origamistrukturer** på den **mønstrede** kemisk modificerede grafen. **Adsorptionen** af DNA-origamistrukturer kan systematisk justeres for at muliggøre **rumlig mønsterdannelse** på kemisk modificeret **grafen.** [14]

D. SUNDHEDSRISICI

Det skal dog påpeges, at **grafen er yderst giftigt** i **enhver form,** det præsenteres og indtages i **mennesket.**

kroppen, faktisk **er dens tilstedeværelse ikke blevet deklareret** blandt **komponenterne** i **"vaccinen"** af medicinalfirmaet. Undersøgelser, der er dukket op, viser, at **grafen,** deraf grundlaget for nanonetværket, synes at være til stede i **alle "vacciner", bortset** fra **AstraZeneca,** som, måske ikke ved et tilfælde, **blev fjernet fra markedet og** påtog sig **ansvaret** for adskillige **bivirkninger,** endda **dødelige,** selvom det i virkeligheden udviste omtrent **samme sandsynlighed** (lidt højere) for at udvikle **patologier** eller pådrage sig pludselige **hjerte-/cerebrovaskulære ulykker** sammenlignet med andre sera.

Hvis vi vender tilbage til **grafen og dets derivater,** er det muligt at sige, at det er **stærkt trombotisk,** faktisk er **koaguleret blod** blevet **undersøgt** af **flere forskere:** først og fremmest **prof. Campra,** men også **Dr. Robert O. Young,** som har offentliggjort **alle sine studier og resultater** i **detaljer** på **sin personlige hjemmeside:** [15]

> Nano- og mikrografenrør forårsager patologisk blodkoagulation, hvilket fører til hyperkapni, hypoxi og død. **Dr. Robert O. Young, MD., DSc, PhD, i Hikari Omni Publishing, 2021.**

og andre forskere, blandt hvilke **Dr. Jose Louis Sevillano** har udmærket sig for de **advarsler ,** der er fremsat **mod introduktionen af grafen** i befolkningen. Derudover udviser det nævnte **nanomateriale genotoksicitet, mutagenicitet,** høj **lungetoksicitet,** forårsager **skader** på **kredsløbs-** og **kardiovaskulærsystemet , nervesystemet , det endokrine, reproduktive, urinvejssystemet,** kan føre til **apoptose** (celledød), alvorlig **inflammatorisk** tilstand, **immunsuppression,** helt op til **multiorgandysfunktion.**

Machine Translated by Google

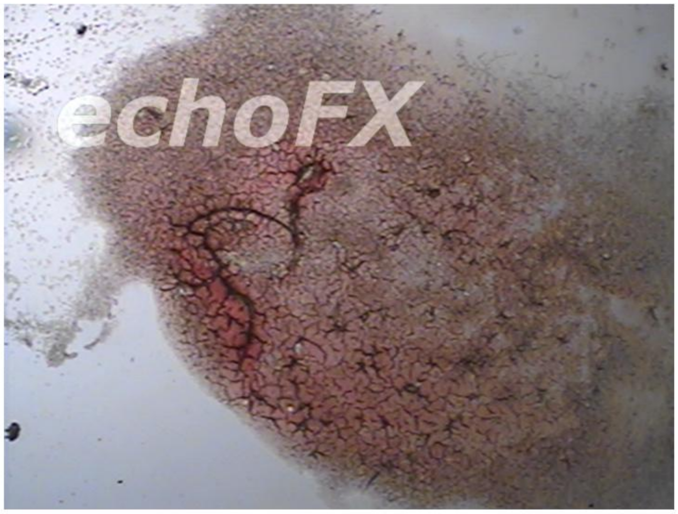

Fig. 11. Set under lysfeltsmikroskopi af et nanorør og mikrorør af grafenoxid i tørrede koagulerede blodlegemer eller en blodprop (Dr. Robert O. Young, Hikari Omni Publishing, 2021)

Husk også, at den **kunstige elektronik ,** der vil blive dannet fra **grafen i hydrogel,** ved elektroforese og teslaforese, som reaktion på magnetfelter og elektromagnetiske (EM) bølger, let kan påvirke den **elektriske ledning** i **hjertet** og hjernen **negativt ,** hvilket fører til **dødelig flimmer (arytmi)** eller **neurologiske lidelser** af betydelig størrelsesorden. [16]

III. KONKLUSIONER

Så der er stadig mange **spørgsmålstegn,** såsom den **for tidlige død ,** der vil ske for nogle **vaccinerede,** men som vil tillade **bevidsthedens evige overlevelse** for andre.

Visse aspekter, **adfærd** (f.eks. kapløb om vaccinen og had til uvaccinerede) er sandsynligvis en del af **evolutionen** og har som sådan en forklaring på den **instinktive matrix,** medmindre den ikke allerede er på plads, en **ukendt form for mental kontrol** og **induktion til at handle ubevidst for at nå et mål.**

Det er derfor klart, hvordan dette er et **obligatorisk skridt for menneskeheden,** der i disse år begynder at lægge grunden for intrakorporal nanorealitet og efter min mening afsluttes **inden for et århundrede.**

Der er **links** på nettet **til godeeper,** men hvis du leder efter information om **grafenmateriale , nanoteknologi relateret til biologi** og **NanoThings' internet,** åbner der sig en **ny verden ,** hvor **akademikere** allerede kender og tager alt, hvad jeg har beskrevet i denne forskning, for **givet** og normalt.

IV. LISTE OVER FORKORTELSER

BAN: Body Area Network
BLE: Bluetooth lavenergi
CNT: Kulstofnanorør
CORONA: Koordinatrutingssystem til nanonetværk
Demux: Demultiplekser
EM: Elektromagnetiske mikrobølger
GO: Grafenoxid **rGO:**
Reduceret grafenoxid
GQD'er: Grafenkvantepunkter
Hz: Hertz
IEEE: Institut for Elektriske og Elektroniske Ingeniører
IoT: Tingenes internet
IoMT: Internet of Medical Things
IoNT: Nano-tingenes internet
LoRaWAN: Lavenergi-bredt netværk
MAC: Medieadgangskontrol
ML: Maskinlæring
MR: Magnetisk resonansbilleddannelse
Mux: Multiplexer
QCA: Kvantecellulære automater
SDM: Softwaredefineret metamateriale
TDMA: Tidsdelt multipel adgang
TEM: Transmissionselektronmikroskopi
THz: Terahertz
TS-OOK: Tidsspredt On-Off-nøglefunktion
WNSN: Trådløst nanosensornetværk

V. TILGÆNGELIGHED AF DATA OG MATERIALER

Alt materiale, data og tal deles **offentligt,** som **åbent få adgang til** artikler eller **præprintede** artikler på ResearchGate.

VI. FINANSIERING

Der er **ingen bevillinger eller stiftere.** Forfatteren gjorde det heller ikke modtage nogen form for kompensation for sit arbejde.

VII. KONKURDERENDE INTERESSER

Forfatteren erklærer, at forskningen blev udført uden **kommercielle eller økonomiske forbindelser ,** der kunne opfattes som en potentiel **interessekonflikt ,** og **at** alt arbejde blev udviklet med hendes eget grundlag.

VIII. ERKLÆRINGER

Undertegnede **Kira Smith** hævder at være den **eneste forfatter** af denne forskningsartikel og at have ingen samarbejdspartnere.

IX. ETISK GODKENDELSE OG SAMTYKKE TIL DELTAGELSE

Ikke påkrævet, da der **ikke er studier på mennesker eller dyr .**

X. FORFATTERNES INFORMATION

Dr. **Kira Smith** blev født i **1988** i **Novara,** Piemonte, **Italien.** Hun dimitterede i **2008** med **en gymnasial eksamen i datalogi** og i 2013 med en medicingrad **fra** University **of Studies i Torino.** Derefter tog hun **en kandidatgrad i eksperimentel medicin** på **Queen's University Belfast.** Hun har **arbejdet** for store **cybersikkerhedsvirksomheder** og på mange **hospitaler** og **ASL** i Italien, såsom **Policlinico di Torvergata** i Rom og **Maggiore della Carità** i Novara.

TAKKEORD

Ingen.

Machine Translated by Google

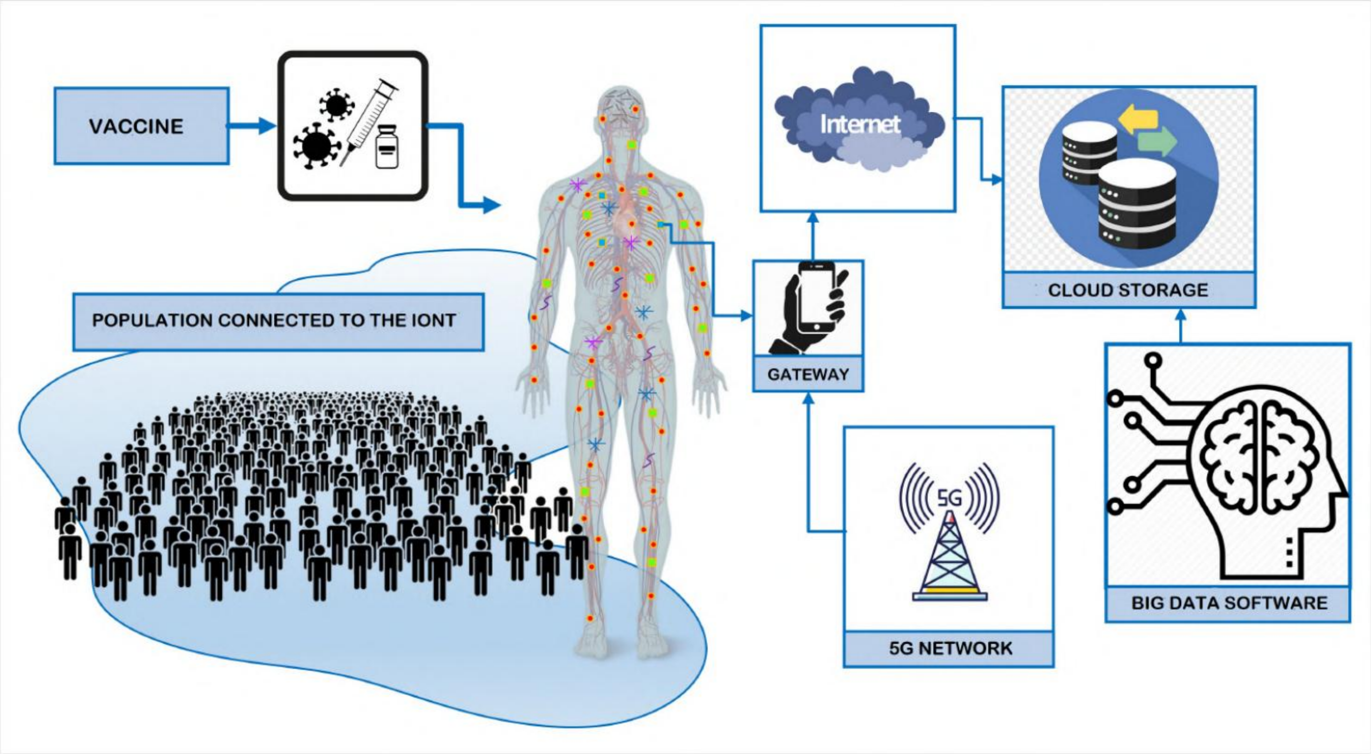

Fig. 12. Intrakorporalt nanonetværk til IoNT

REFERENCER

[1] R. Delgado, 2021.

[2] CP, "DETEKTION AF GRAFEN I COVID19-VACCINER," 2021.

[3] P. Campra, "MIKROSTRUKTURER I COVID-VACCINER: uorganisk krystaller eller trådløse nanosensornetværk," 2021.

[4] SJ Lee, C. Jung, Andrew, K. Choi og S. Kim, "Design af trådløse nanosensornetværk til intrabody-applikationer," International Journal of Distributed Sensor Networks, 2015.

[5] A. Baalghusun og S. Mahfoudh, "Routingprotokoller til trådløse nanosensornetværk og Internet of Things: En omfattende undersøgelse," IEEE Access, bind 8, 2020.

[6] S. Shama, SM Zeeshan, KA Ahmed og D. Indrakshi, "Internet of Things (IoT) Enabled Architecture for Social Distancing Under Pandemic," Frontiers in Communications and Networks, bind 2, 2021. [Online]. Tilgængelig: 10.3389/frcmn.2021.614166;https:// www.frontiersin.org/article/10.3389/frcmn.2021.614166 [7] Bouchedjera, Louail, Aliouat, S.Harous et al., "DCCORONA: Distribueret klyngebaseret koordinat- og routingsystem til nanonetværk," 2020. [Online]. Tilgængelig: 10.1109/UEMCON51285. 2020.9298084

[8] A. Tsioliaridou, C. Liaskos, S. Ioannidis og A. Pitsillides, "CORONA: Et koordinat- og routingsystem til nanonetværk," og andre, red., september 2015, Projekt: VISORSURF: En hardwareplatform til softwaredrevne funktionelle metasoverflader. [Online]. Tilgængelig: http://dx.doi.org/10.1145/2800795.2800809

[9] S. Luiz, VC Artur, N. Omar, VLF og V. Marcos, "NanoRouter: Et design af kvanteprikker til cellulære automater," IEEE Journal on Selected Areas in Communications, bind 31, 2014.

[10] Mohrehkesh, MC Shahram, SK Weigle og Das, "DRIH-MAC: En distribueret modtager-initieret høstbevidst MAC til nanonetværk," IEEE Transactions on Molecular, Biological and Multi-Scale Communications, bind 1, s. 97–110, 2015.

[11] G. Andrew, 2021.

[12] DB Strukov, GS Snider, R. Duncan, DR Stewart og RS Williams, "Den manglende memristor fundet," Nature, bind 453, s. 80–83, 2008.

[13] Abadal, Liaskos, Tsioliaridou, Ioannidis, P. Andreas, Solé-Pareta, AE Joseph. et al., s. 1-1, 2017.

[14] J.-M. Yun, N. Kyoung, JY Kim, DO Kim, WJ Shin, SH Lee, M. Lee, SO Lieberman og Kim, "DNA origami nanopatterning på kemisk modificeret grafen," Angewandte Chemie, bind 51, s. 912–917, 2012.

[15] YRO, 2021. [Online]. Tilgængelig: https://drrobertyoung.com [16] S. Kira, "BNT162b2-vaccine: Mulig fejllæsning af kodoner, fejl i proteinsyntese og anomalier ved alternativ splejsning," Journal of Antivirals and Antiretrovirals, bind 12, nr. 2, 2021, Fjernet og uploadet på ResearchGate. [Online]. Tilgængelig: 10.35248/1948-5964.21.13.210;https://www.researchgate.net/publication/ 354153084_Mini_Review_Correspondence_to_BNT162b2_ Vaccine_Possible_Codons_Misreading_Errors_in_Protein_Synthesis_and_Alternative_Splicing's_Anomalies

Kira Smith F - 1988 - IT/US Hun har en medicingrad fra University of Studies i Torino og derefter en kandidatgrad i eksperimentel medicin på Queen's University i Belfast. Efter at have afsluttet sine bachelorstudier begyndte Kira at arbejde for international privat sikkerhed på en PMC, og nu er hun sikkerhedsspecialist for specialoperationer i ukonventionel krigsførelse og militær efterretningstjeneste.